



Simulace dynamických systémů

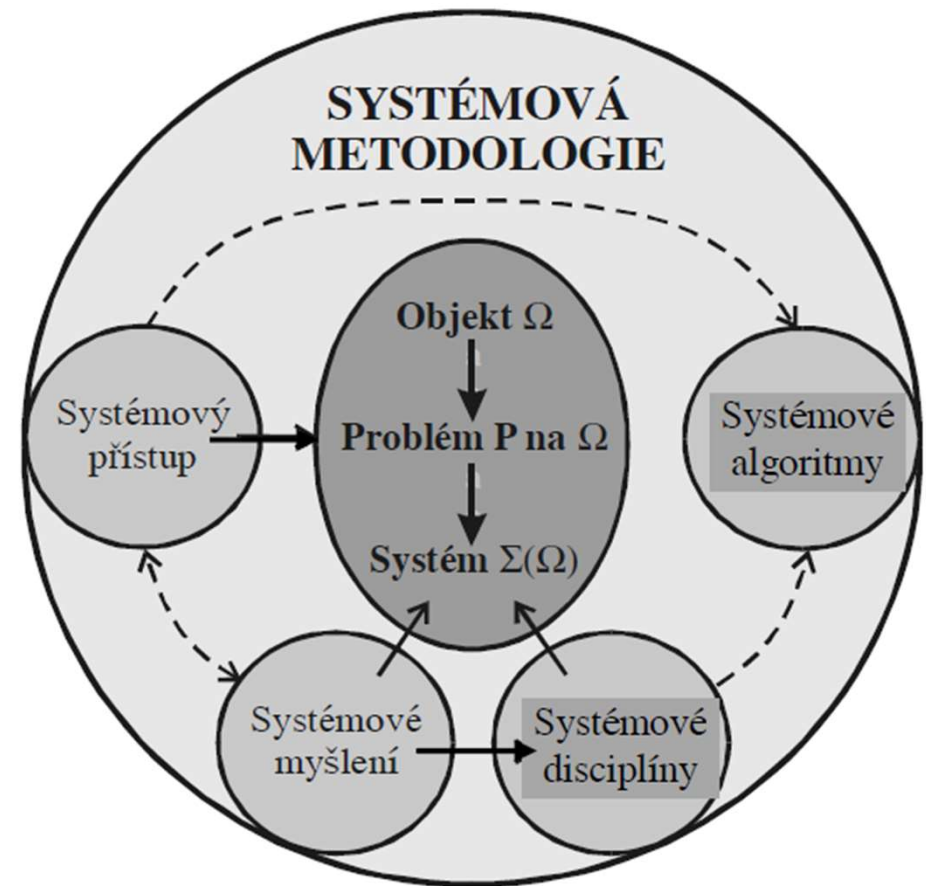
Zdeněk Hadaš

Systémový přístup

Teorie systémů je teoreticko-filozoficko-praktická vědní disciplína, která se komplexně a na obecné úrovni zabývá hledáním nadoborových přístupů, postupů, metod, teorií zákonů apod., podle nichž se chovají různorodé reálné i abstraktní soustavy.

Správné vymezení a formulace problému

Systémová analýza a syntéza



Pojmy systémové terminologie

- Entita, okolí entity, hranice entity
- Struktura a strukturovatelnost
- Rozlišitelnost rozlišovací úroveň
- Prvek entity, oddělování a uvolňování prvku z entity
- Vazba a interakce
- Systém a soustava

Procesy na entitě

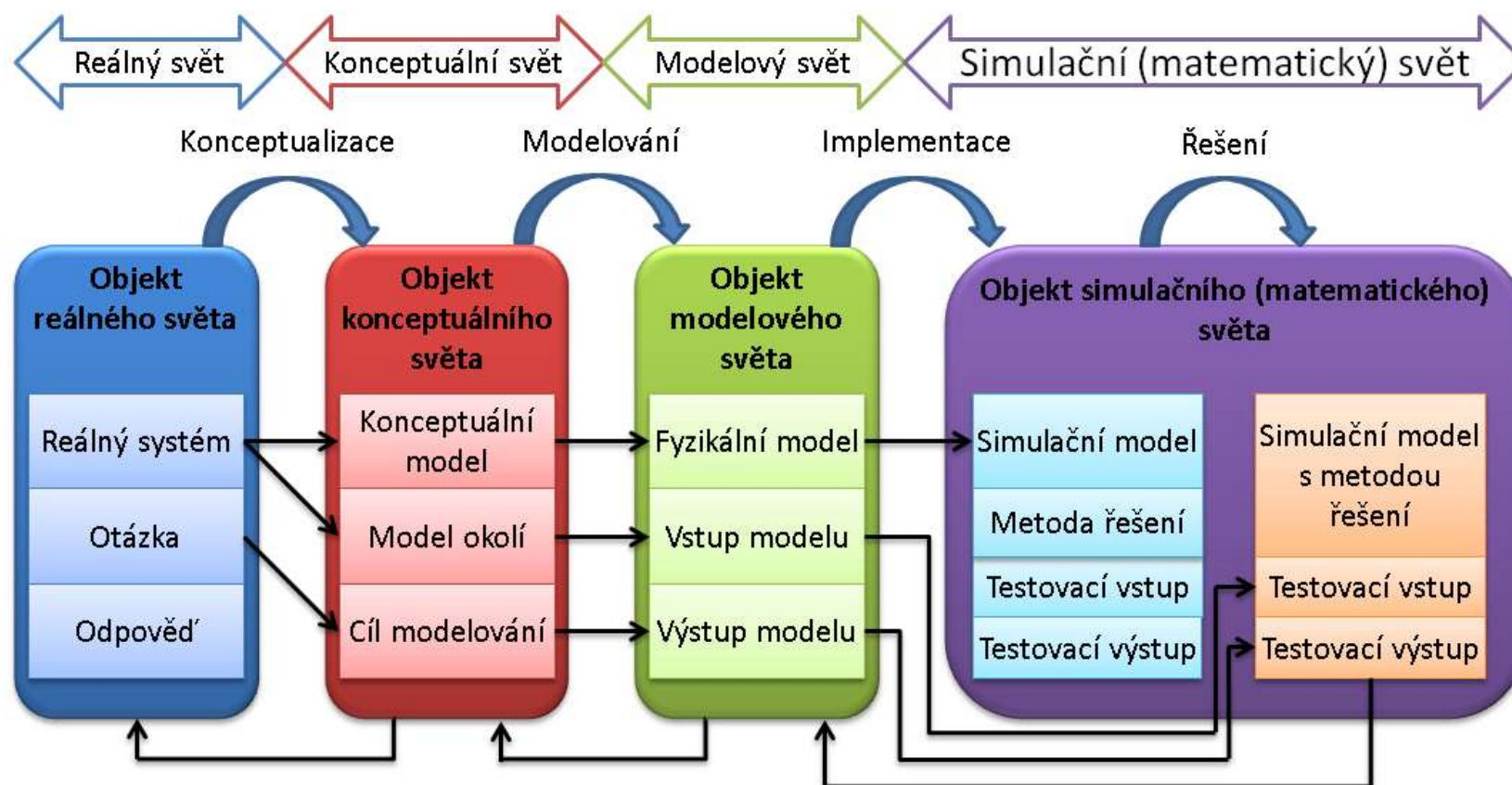
- Aktivace entity
- Ovlivňování entity
- Proces na entitě a stav entity

Proces je dynamický řetězec vzájemně propojených funkcí, zdrojů a činností, který zajišťuje cílové chování objektu tím, že přeměňuje vstupy do objektu na výstupy z objektu různými prostředky (stroje, nástroje, mechanismy, matematické teorie apod.).

Stav entity (soustavy) je množinou všech podstatných, oborově a problémově orientovaných vlastností entity (soustavy), které lze rozpoznat na struktuře entity (soustavy) za definovaných podmínek v daném časovém okamžiku a v daném prostoru.

- Jev, projev a chování entity, důsledek
- Situace

Postup modelování



Výrobní linka



Dynamický model linky

- HB – hmotný bod
- Hybnost, Energie
- Práce
- Impuls síly

- Pohybová rovnice

Moment hybnosti HB – křivočarý pohyb

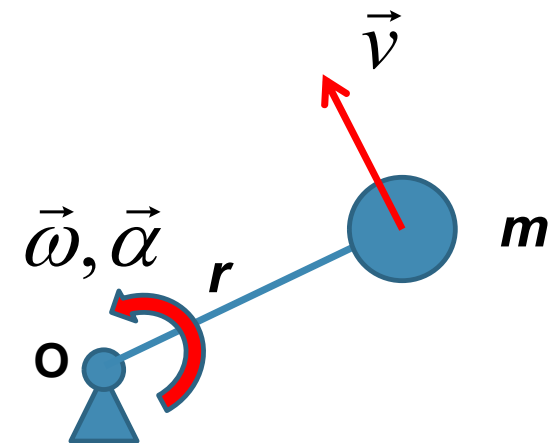
Moment hybnosti hmotného bodu

$$\vec{b}_0 = \vec{r} \times \vec{H} = \vec{r} \times m\vec{v}$$

$$\vec{v} = \vec{\omega} \times \vec{r}$$

HB na nehmotné tyči:

$$\vec{b}_0 = \vec{r} \times m\vec{v} = mr^2\vec{\omega} = I_O\vec{\omega}$$



Věta o změně momentu hybnosti HB

$$\vec{v} = \vec{\omega} \times \vec{r}$$

$$\frac{d\vec{b}_0}{dt} = \vec{r} \times m \frac{d\vec{v}}{dt} = \vec{r} \times \vec{F}_V = \vec{M}_V$$

Moment síly

$$\vec{M}_V = \vec{r} \times \vec{F}_V$$

POZOR – sumou m přes celé těleso vznikne tenzor setrvačnosti

Tenzor setrvačnosti

$$\mathbf{I} = \begin{bmatrix} I_x & -D_{xy} & -D_{xz} \\ -D_{yx} & I_y & -D_{yz} \\ -D_{zx} & -D_{zy} & I_z \end{bmatrix}$$

Pohybová rovnice rotačního pohybu

$$\mathbf{I} \cdot \boldsymbol{\alpha} = \mathbf{m}_v$$



Tenzor setrvačnosti 3x3

$$\boxed{3 \times 3} \quad \boxed{} = \boxed{}$$

Osové momenty setrvačnosti

$$\begin{aligned} I_x &= \int_m r_x^2 dm = \int_m (y^2 + z^2) dm, \\ I_y &= \int_m r_y^2 dm = \int_m (x^2 + z^2) dm, \\ I_z &= \int_m r_z^2 dm = \int_m (x^2 + y^2) dm, \end{aligned} \quad \mathbf{I} = \begin{bmatrix} I_x & & \\ & I_y & \\ & & I_z \end{bmatrix}$$

Deviační momenty setrvačnosti

$$D_{xy} = \int_m xy dm,$$

$$D_{yz} = \int_m yz dm,$$

$$D_{zx} = \int_m zx dm,$$

Na rozdíl od osových momentů setrvačnosti, které jsou vždy kladné, **deviační momenty mohou nabývat kladných i záporných hodnot.**

Věta o změně momentu hybnosti HB

$$\frac{d\vec{b}_O}{dt} = \frac{I_O d\vec{\omega}}{dt} = \vec{M}_V$$

$$I_O d\vec{\omega} = \vec{M}_V dt$$

$$\int_{\omega_1}^{\omega_2} I_O d\vec{\omega} = I_O (\vec{\omega}_2 - \vec{\omega}_1) = \int_{t_1}^{t_2} \vec{M}_V dt$$

- Impuls momentu síly

$$\vec{I}^M = \int_{t_1}^{t_2} \vec{M}_V dt$$

$$\vec{b}_{O2} - \vec{b}_{O1} = \int_{t_1}^{t_2} \vec{M}_V dt = \vec{I}^M$$

Pohybová rovnice pohybu hmotného bodu po kružnici

$$\frac{d\vec{b}_0}{dt} = \vec{r} \times m \frac{d\vec{v}}{dt} = \vec{r} \times \vec{F}_V = \vec{M}_V$$

$$\boxed{\vec{v} = \vec{\omega} \times \vec{r}} \Rightarrow I_O = r^2 \cdot m$$

$$\vec{M}_0 = \frac{d}{dt} \vec{b}_0 = I_0 \cdot \vec{\alpha}$$

Rotace - práce vs. výkon

$$P = \frac{dA}{dt} \quad [W]$$

$$P = \vec{M} \cdot \vec{\omega}$$

Ilustrační případ - Entita: Scara robot



Pohybové diferenciální rovnice tělesa

- Obecně pro těleso

$$\frac{d\vec{H}}{dt} = m \frac{d\vec{v}}{dt} = \vec{F}_V$$

$$\frac{d\vec{b}_O}{dt} = \vec{M}_V$$

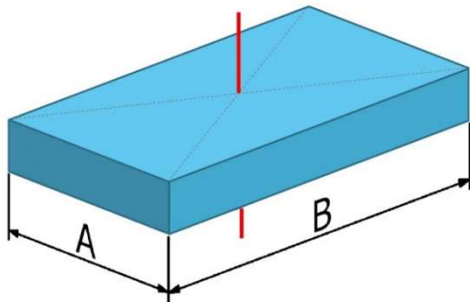
- Rotace okolo osy O

$$\frac{d\vec{b}_O}{dt} = I_O \frac{d\vec{\omega}}{dt} = \vec{M}_V$$

Momenty setrvačnosti základních těles

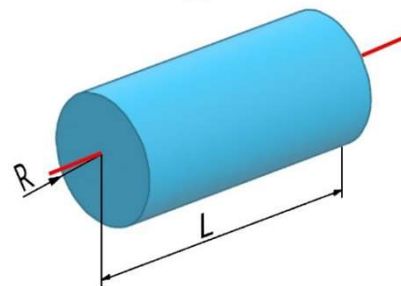
Obdélníková deska

$$I_0 = \frac{1}{12} m (A^2 + B^2)$$



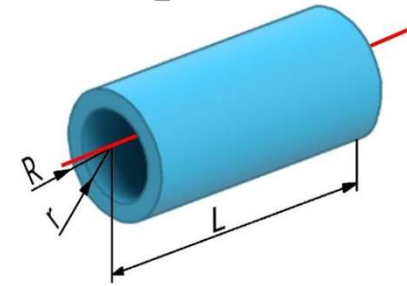
Válec

$$I_0 = \frac{1}{2} m R^2$$



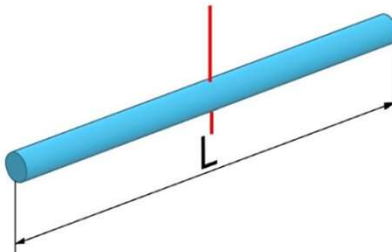
Dutý válec

$$I_0 = \frac{1}{2} m (R^2 + r^2)$$



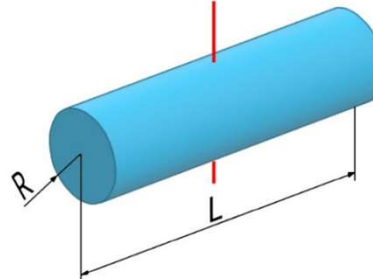
Tenká tyč

$$I_0 = \frac{1}{12} m L^2$$



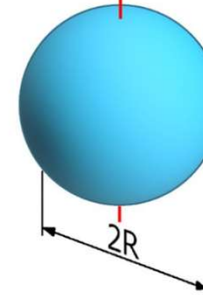
Tlustá tyč

$$I_0 = \frac{1}{4} m R^2 + \frac{1}{12} m L^2$$



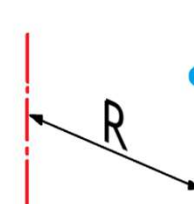
Koule

$$I_0 = \frac{2}{5} m R^2$$

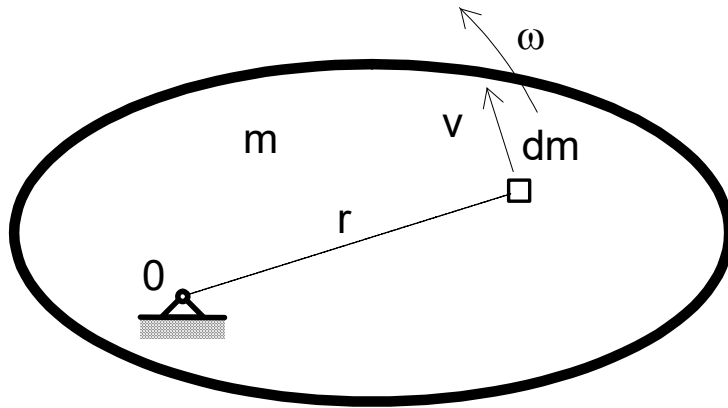


Hmotný bod

$$I_0 = m R^2$$



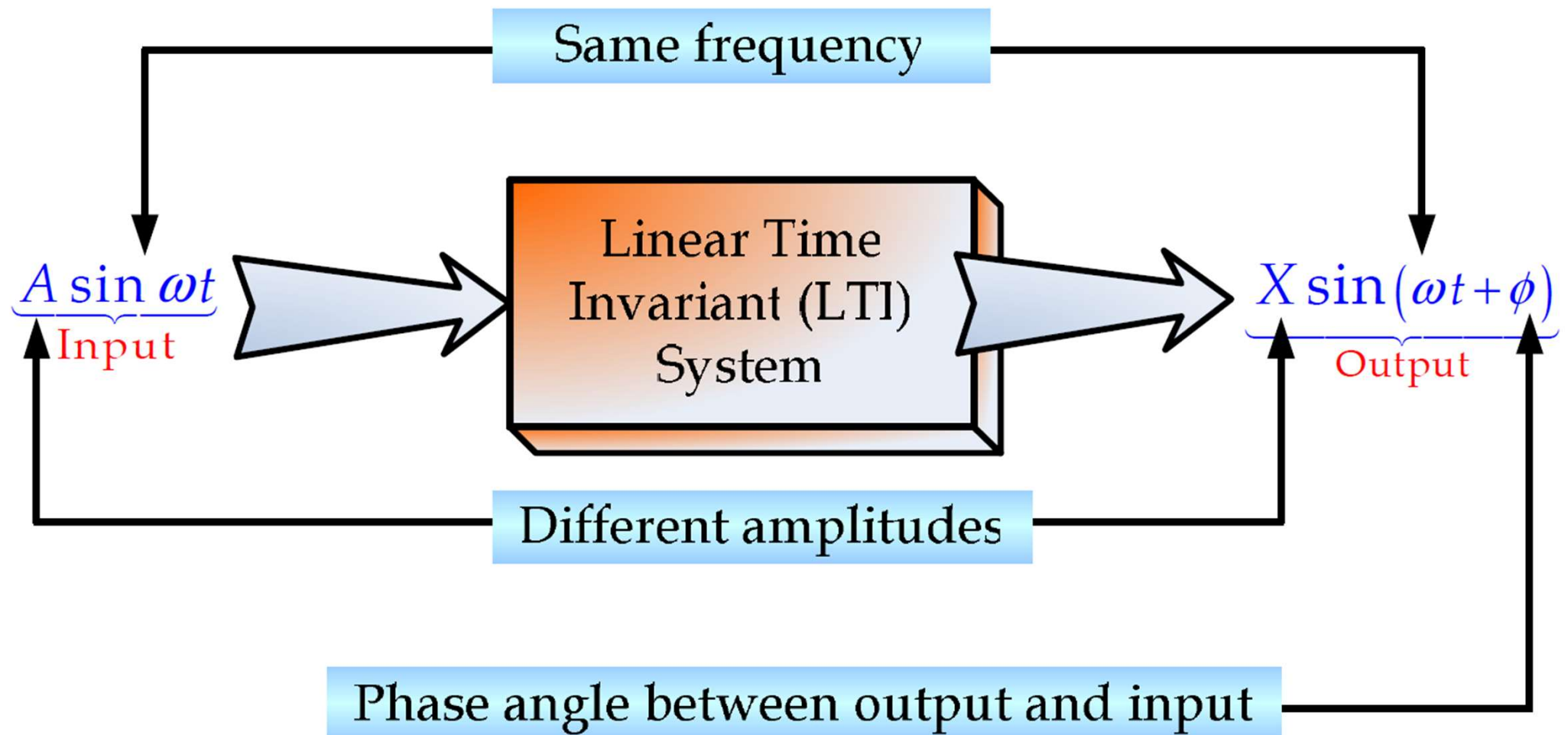
Kinetická energie rotace okolo osy O



$$dE_K = \frac{1}{2} \cdot dm \cdot v^2 = \frac{1}{2} \cdot dm \cdot (r \cdot \omega)^2$$

$$E_K = \int_m \frac{1}{2} \cdot dm \cdot (r \cdot \omega)^2 = \frac{1}{2} \cdot \omega^2 \cdot \int_m r^2 \cdot dm$$

$$E_K = \frac{1}{2} \cdot I_0 \cdot \omega^2$$

LTI systémy

Stavové rovnice

Mějme lineární diferenciální rovnici n -tého řádu

$$a_n y^{(n)} + a_{n-1} y^{(n-1)} + \dots + a_1 y' + a_0 y = u$$

Zavedeme-li stavové proměnné $x_1 \equiv y$, $x_2 \equiv y'$, \dots , $x_n \equiv y^{(n)}$, můžeme tuto rovnici vyjádřit ve formě soustavy n lineárních diferenciálních rovnic 1. řádu, které nazveme stavovými rovnicemi:

$$x_1' = x_2$$

$$x_2' = x_3$$

.

.

$$x_{n-1}' = x_n$$

$$x_n' = -\frac{a_0}{a_n} x_1 - \frac{a_1}{a_n} x_2 - \dots - \frac{a_{n-1}}{a_n} x_n + \frac{1}{a_n} u$$

Model ve stavovém prostoru

$$\mathbf{x}' = \mathbf{A}\mathbf{x} + \mathbf{B}\mathbf{u}$$

$$\mathbf{y} = \mathbf{C}\mathbf{x} + \mathbf{D}\mathbf{u}$$

\mathbf{x} stavový vektor

\mathbf{u} vektor vstupů

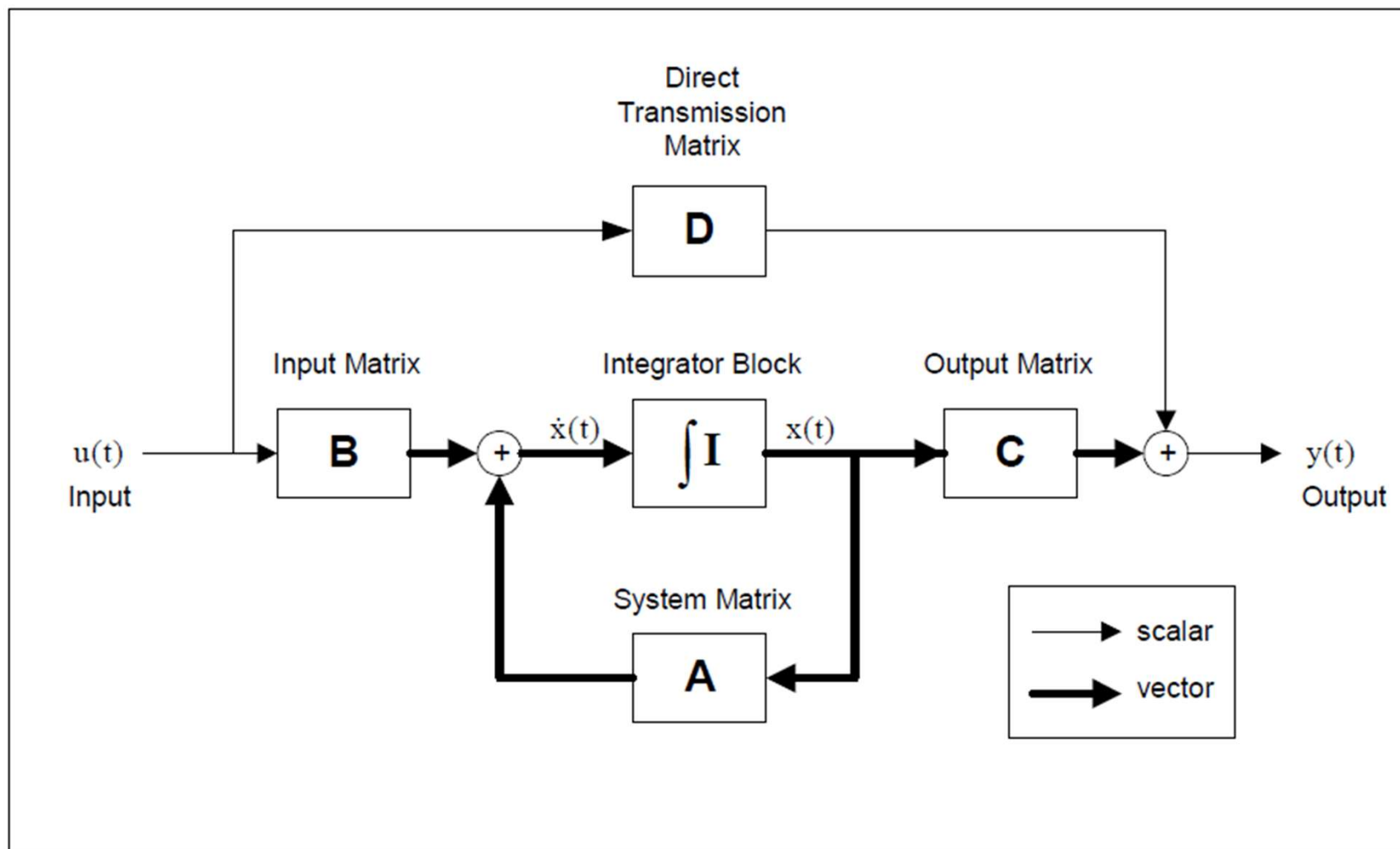
\mathbf{y} vektor výstupů

\mathbf{A} matice vnitřních vazeb systému

\mathbf{B} matice vazeb systému na vstup

\mathbf{C} matice vazeb výstupu na stav

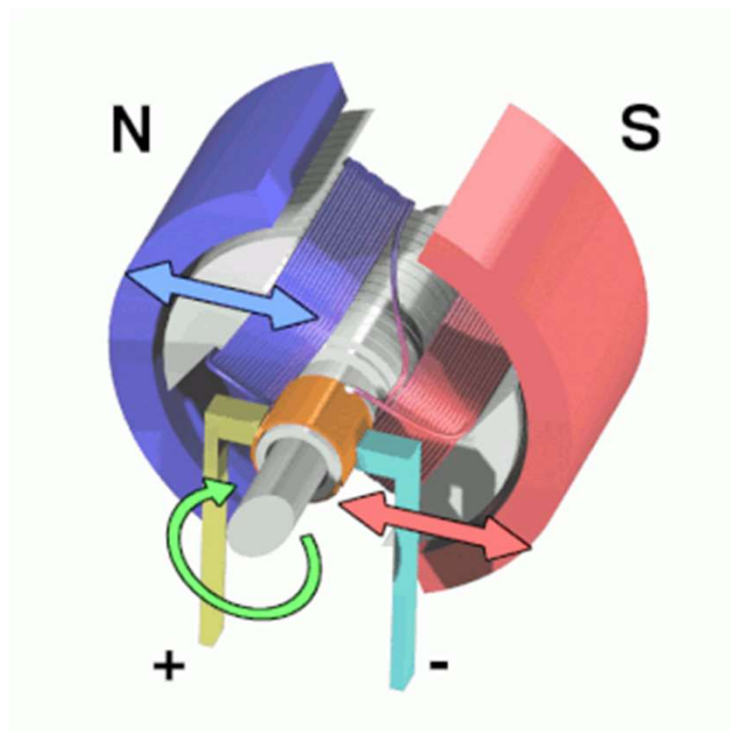
\mathbf{D} matice vazeb vstupu na výstup.



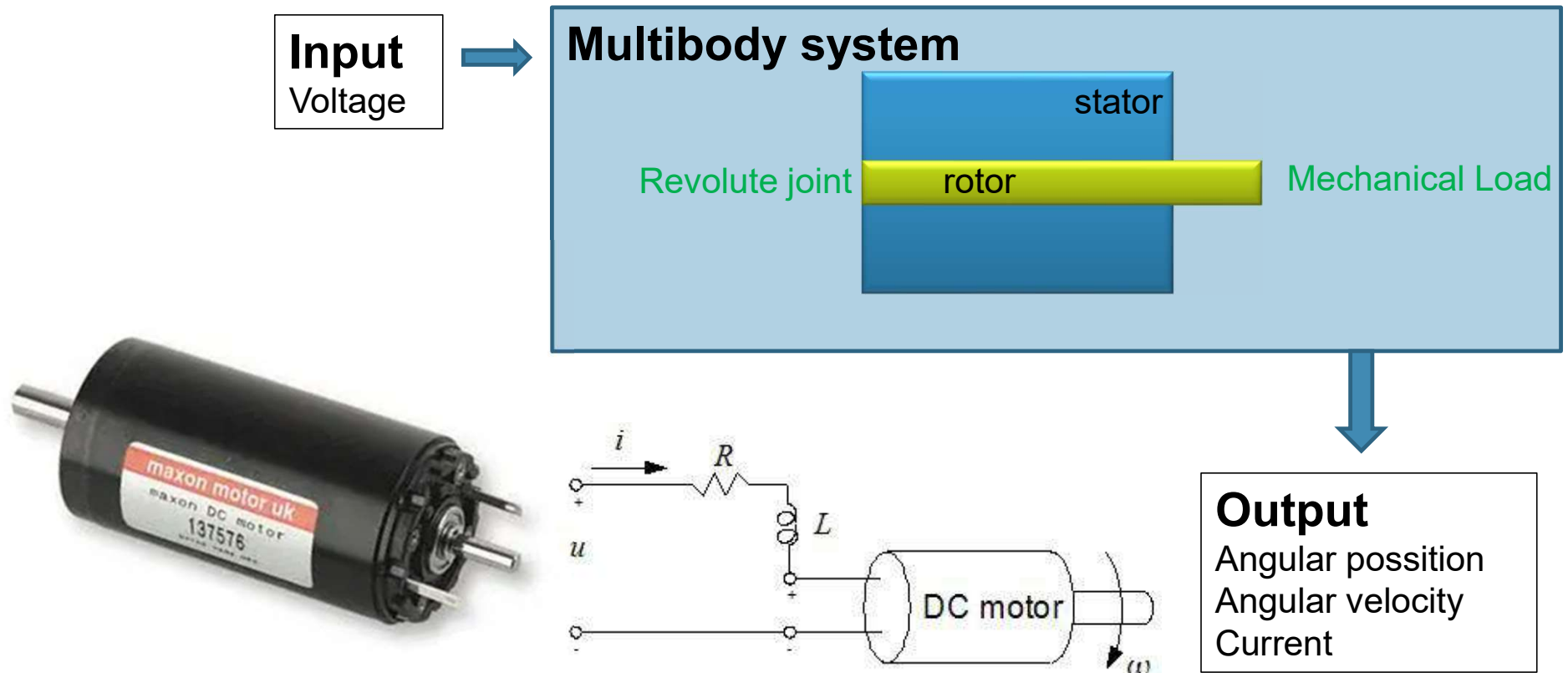
Problém vlastních hodnot

$$|(\lambda \mathbf{I} - \mathbf{A})| = 0$$

DC motor



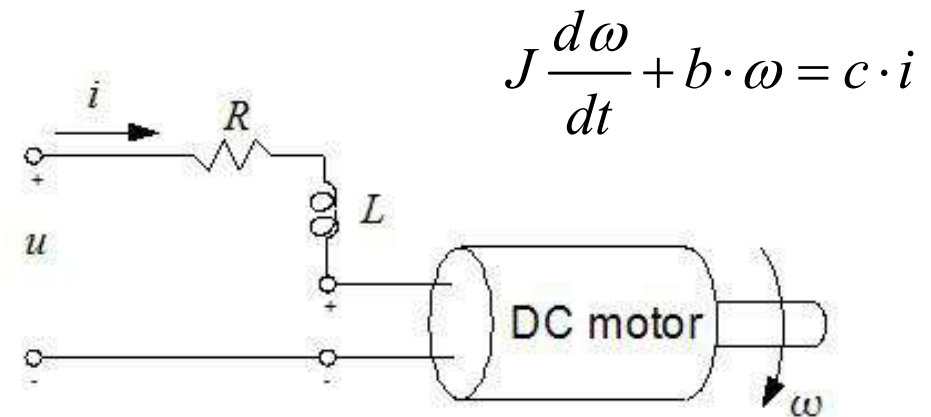
Model DC motoru



Model DC motoru

273754
285787

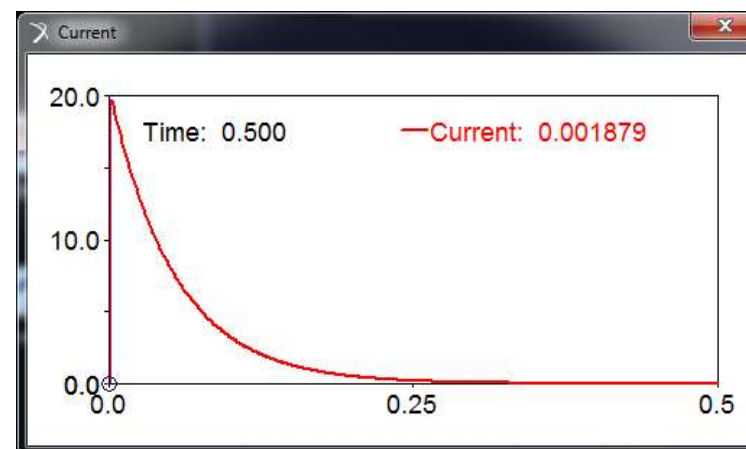
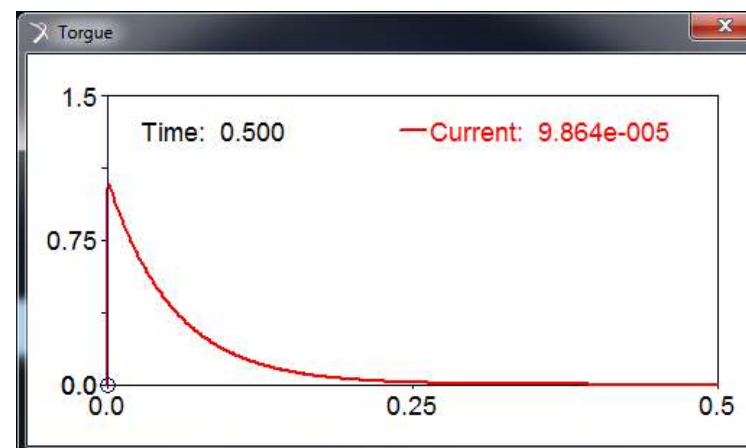
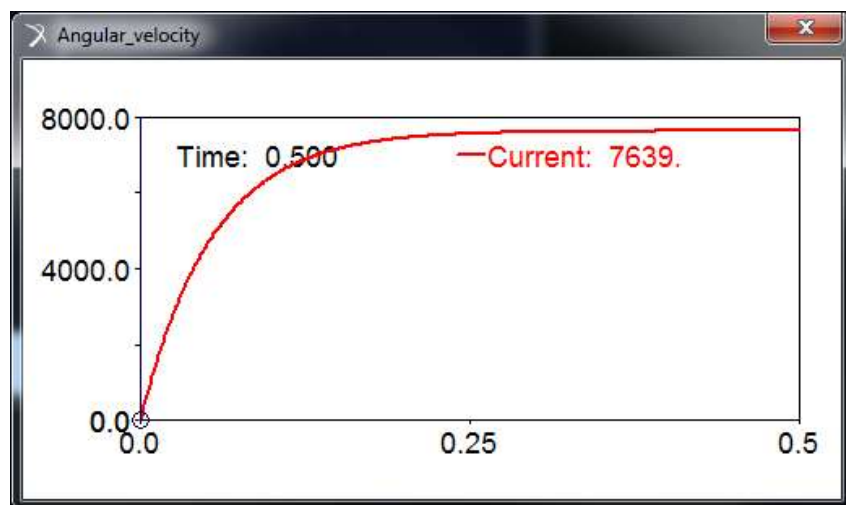
| Motor Data (provisional) | | |
|--------------------------|--------------------------------------|-----------------------|
| 1 | Assigned power rating | W 90 |
| 2 | Nominal voltage | Volt 42.0 |
| 3 | No load speed | rpm 7530 |
| 4 | Stall torque | mNm 1070 |
| 5 | Speed / torque gradient | rpm / mNm 7.17 |
| 6 | No load current | mA 93 |
| 7 | Starting current | A 20.3 |
| 8 | Terminal resistance | Ohm 2.07 |
| 9 | Max. permissible speed | rpm 8200 |
| 10 | Max. continuous current | A 2.15 |
| 11 | Max. continuous torque | mNm 113 |
| 12 | Max. power output at nominal voltage | W 206 |
| 13 | Max. efficiency | % 86 |
| 14 | Torque constant | mNm / A 52.5 |
| 15 | Speed constant | rpm / V 182 |
| 16 | Mechanical time constant | ms 5 |
| 17 | Rotor inertia | gcm ² 69.6 |
| 18 | Terminal inductance | mH 0.62 |
| 19 | Thermal resistance housing-ambient | K / W 6.2 |
| 20 | Thermal resistance rotor-housing | K / W 2.0 |
| 21 | Thermal time constant winding | s 29 |



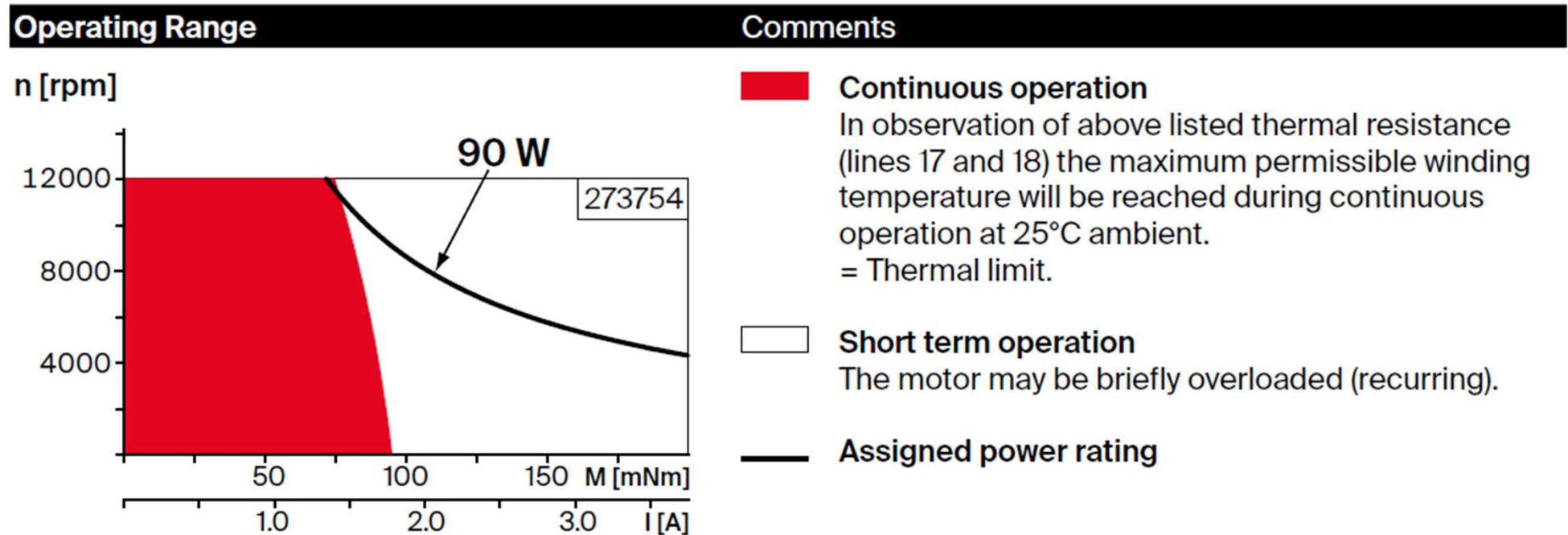
$$u = L \cdot \frac{di}{dt} + c \cdot \omega + R \cdot i$$

| | |
|-----------------------------------|----------|
| J ... moment setrvačnosti hřídele | 69.6E-7 |
| c ... konstanta motoru | 5.25E-2 |
| b ... viskozní tlumení ložiska | 6E-6 ??? |
| L ... indukčnost | 6.2E-4 |
| R ... odpor | 2.07 |
| V ... napájecí napětí | 42.0 |

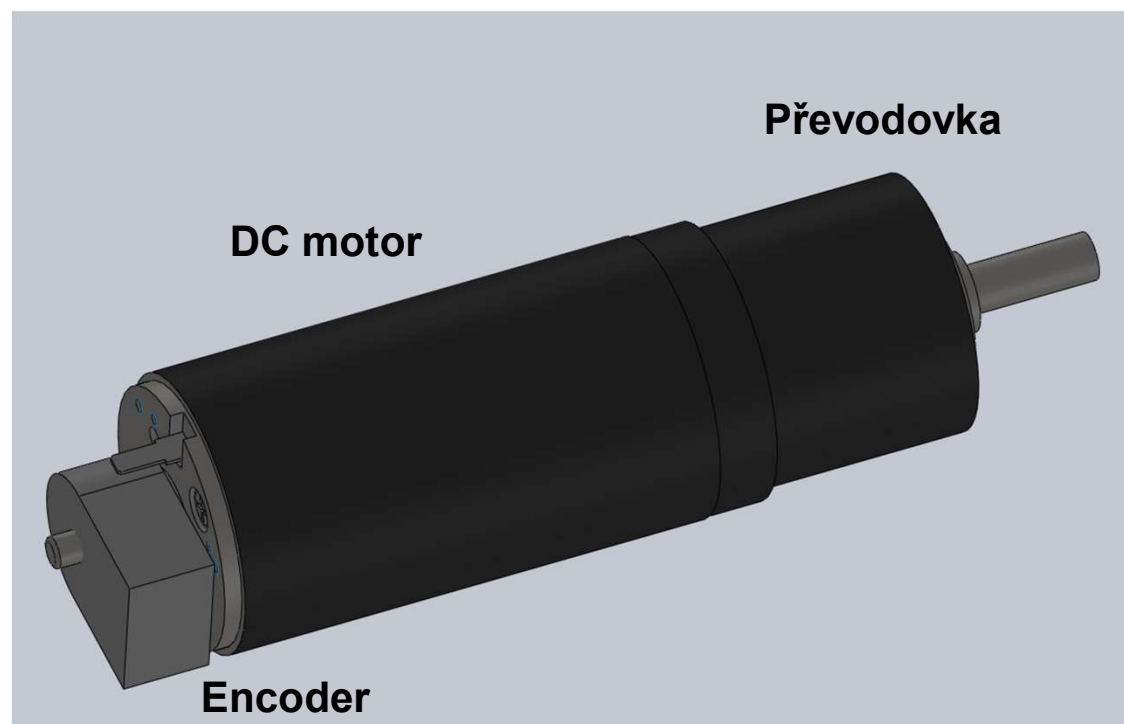
Rozběh motoru



Teplotní systém ...



Pohon

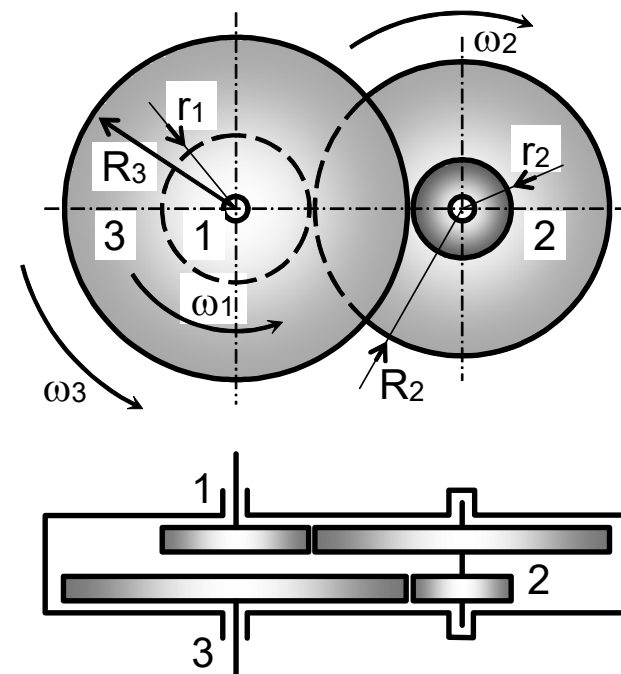
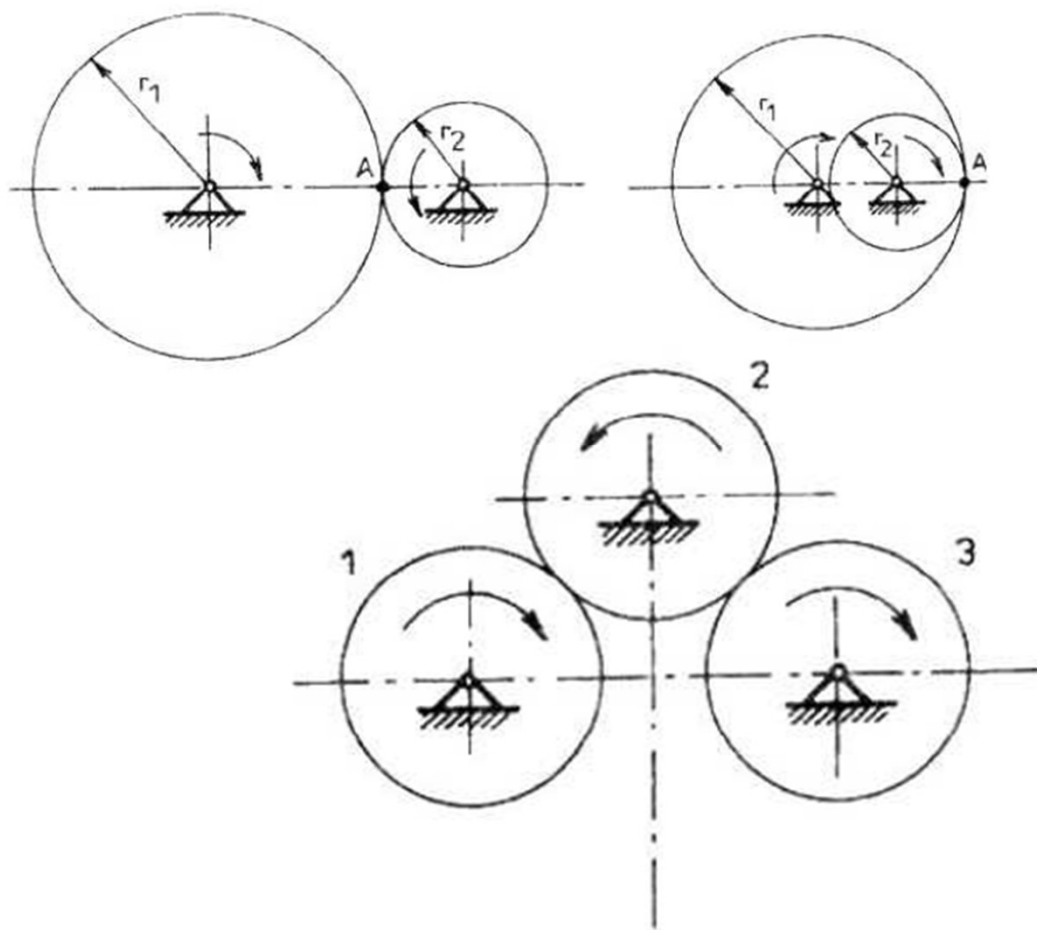


Převodovky

planetová převodovka pro motor Maxon RE 35

Převodový poměr $n \dots 48$

Převodovky



Planetový mechanismus



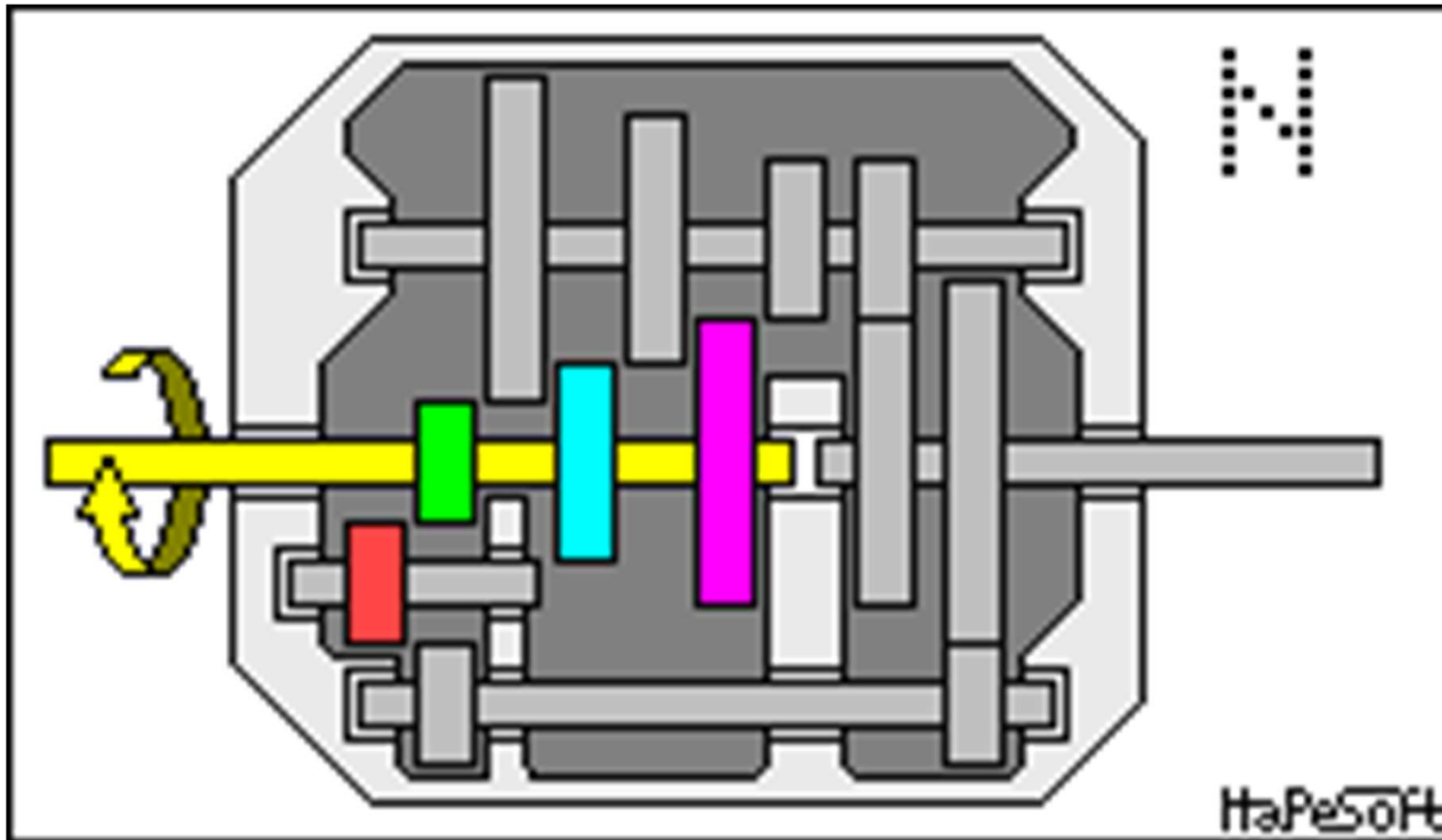
Harmonické a cykloidní převodovky

<https://www.youtube.com/watch?v=bzRh672peNk>

<https://www.youtube.com/watch?v=lstQwLbAG0g>

https://www.youtube.com/watch?v=MBWkibie_5I

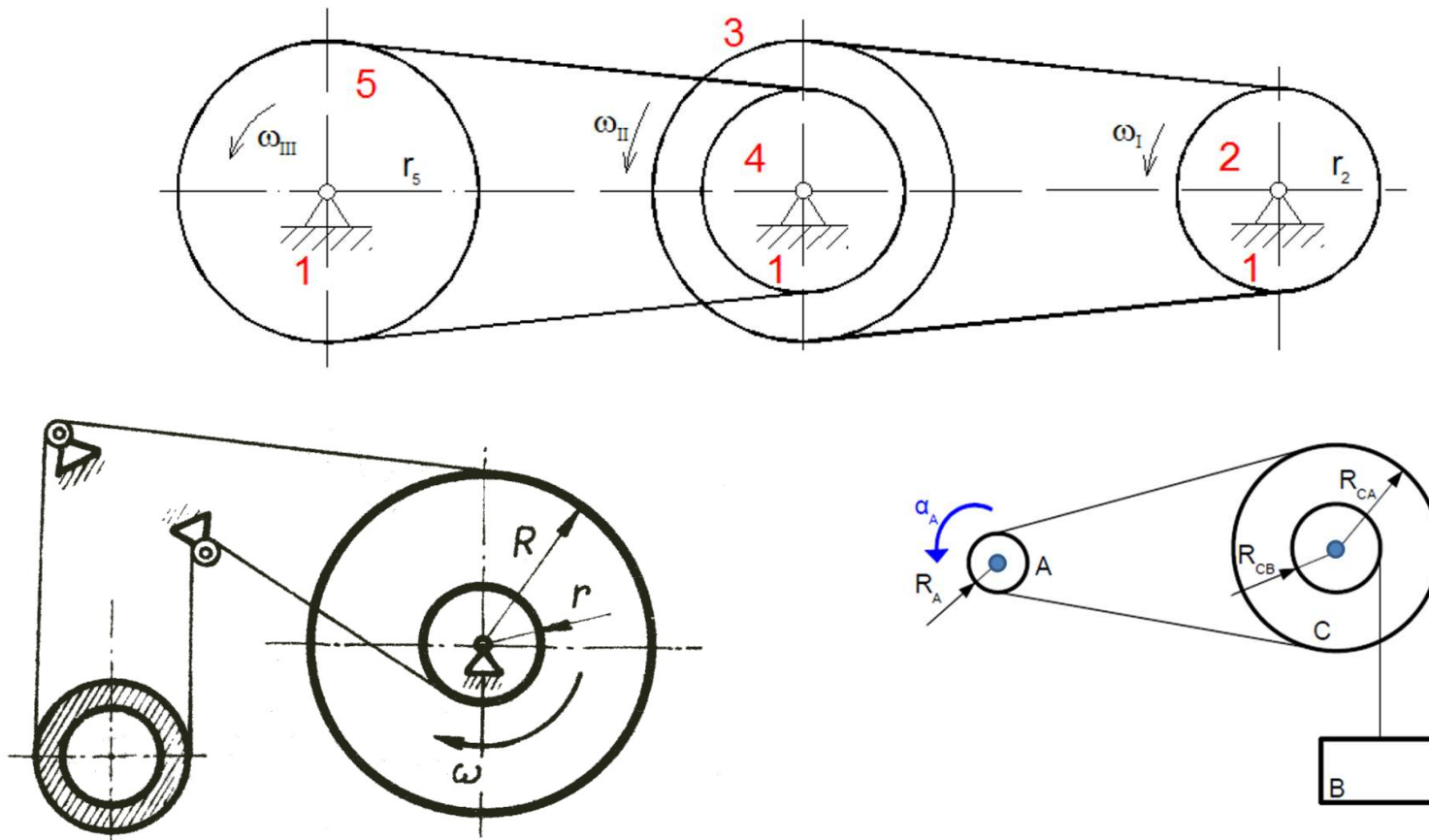
Princip vícešupňové převodovky



Mechanismy

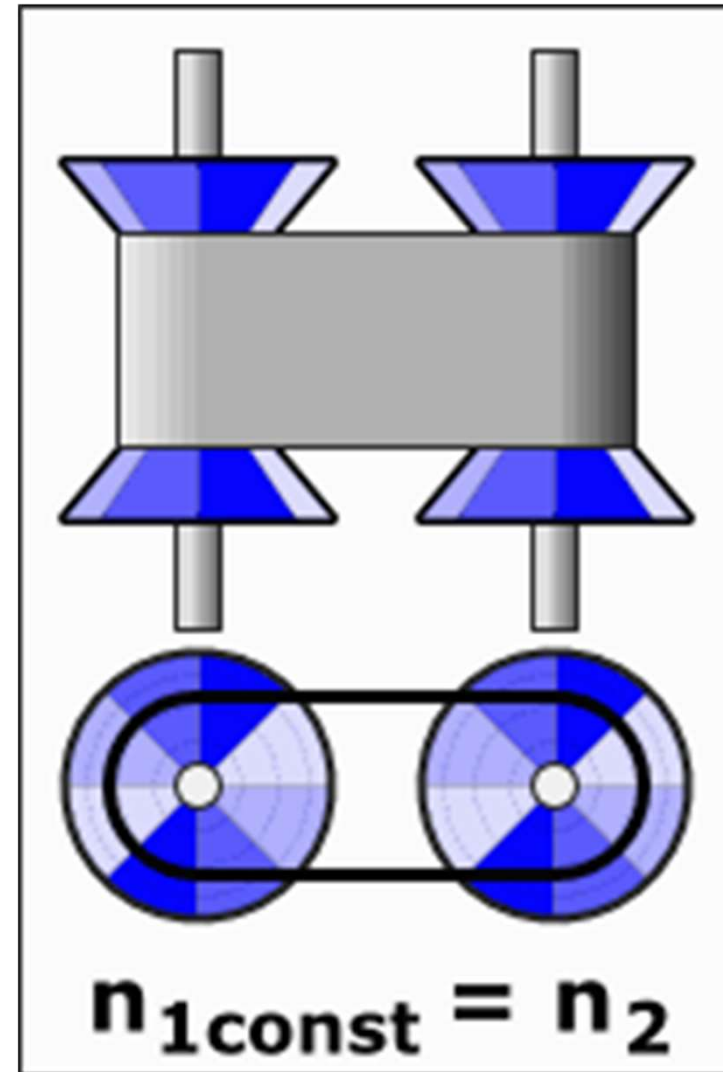
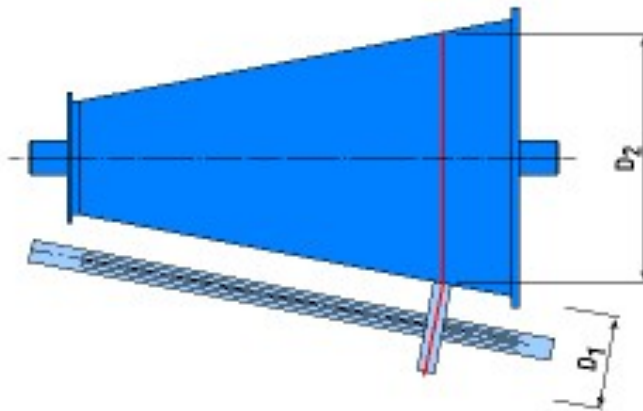
- **Mechanismus** je obecně mechanické zařízení, které slouží k transformaci pohybu nebo k přenosu sil.
- Je tvořen soustavou vzájemně pohyblivě spojených těles vázaných k základnímu tělesu (rám).
- Mechanismus je většinou soustava těles s jedním stupněm volnosti.
- Obecně však může mít více stupňů volnosti.
- Členy, které mechanismus pohánějí, se nazývají **hnací**.
- Člen, který plní funkci mechanismu je **hnaný**.

Mechanismy s konstantními převody

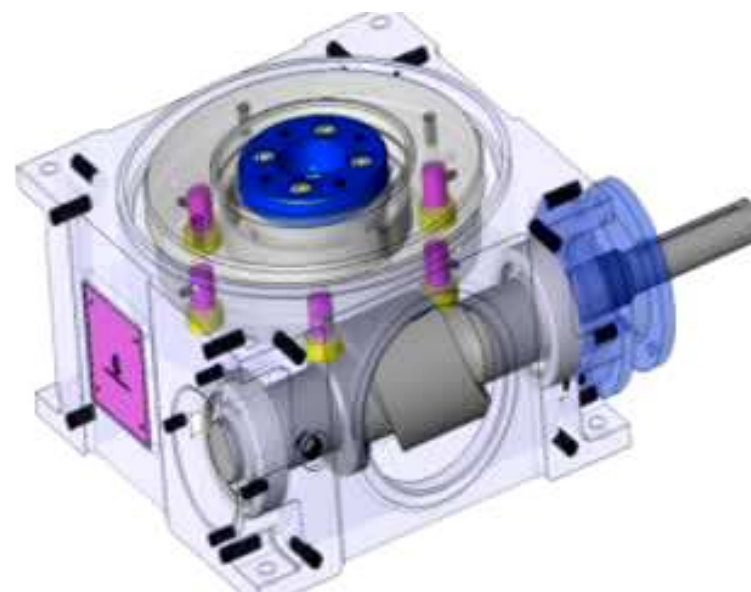
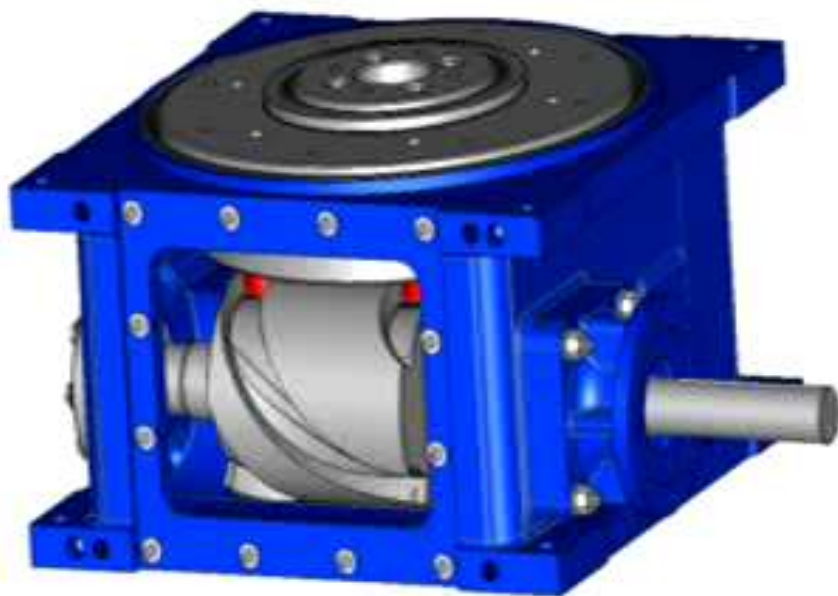


Mechanismy s proměnným převodem

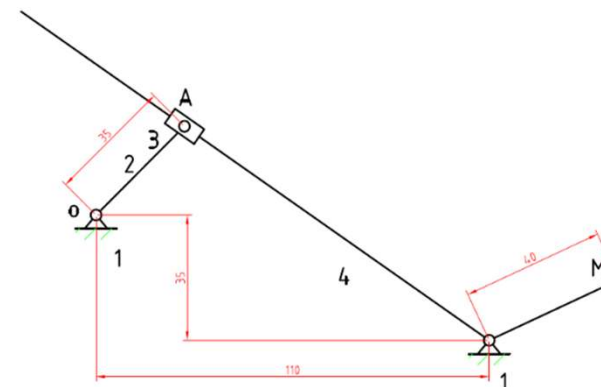
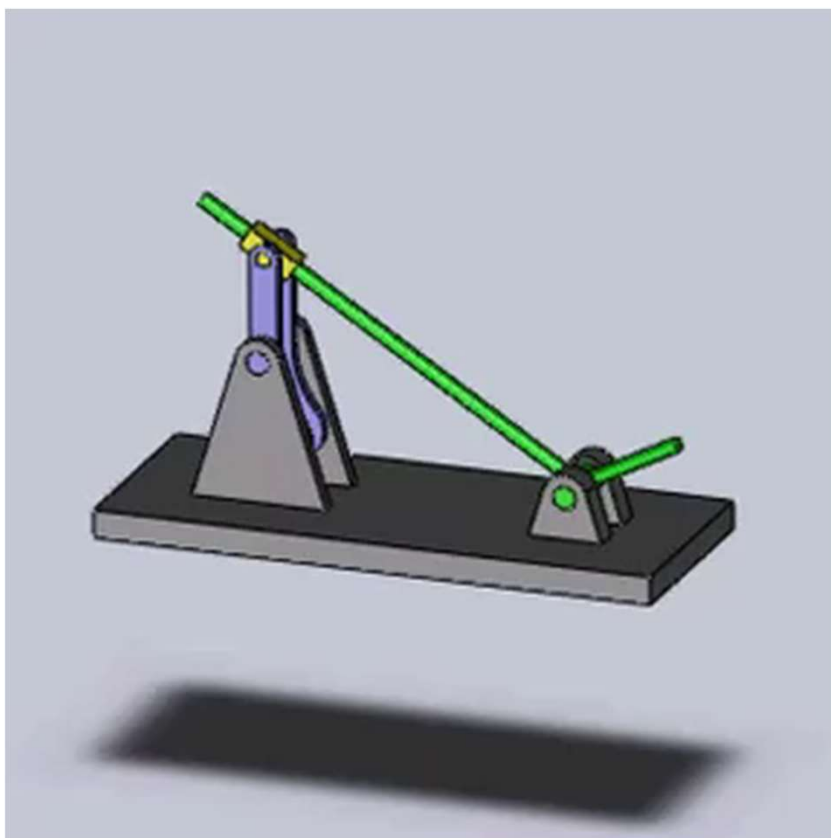
- Variátory



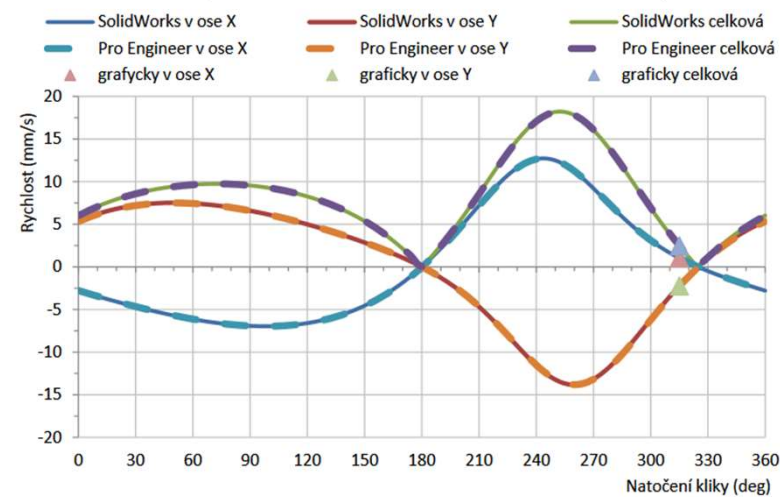
Vačky



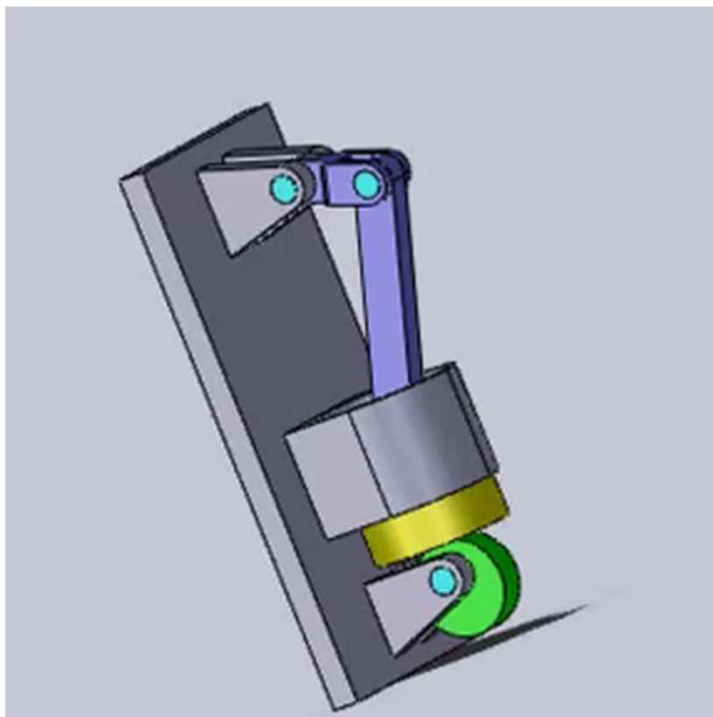
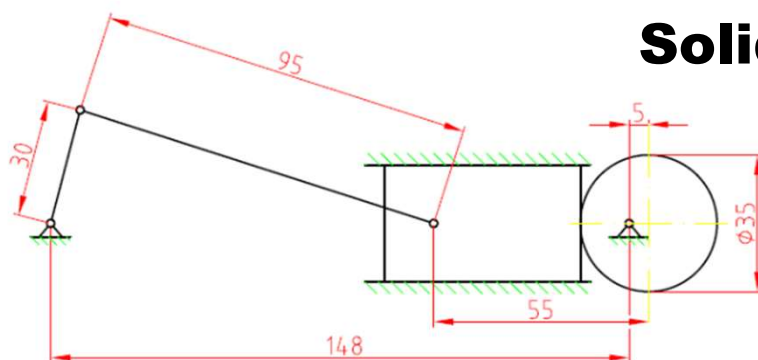
SolidWorks



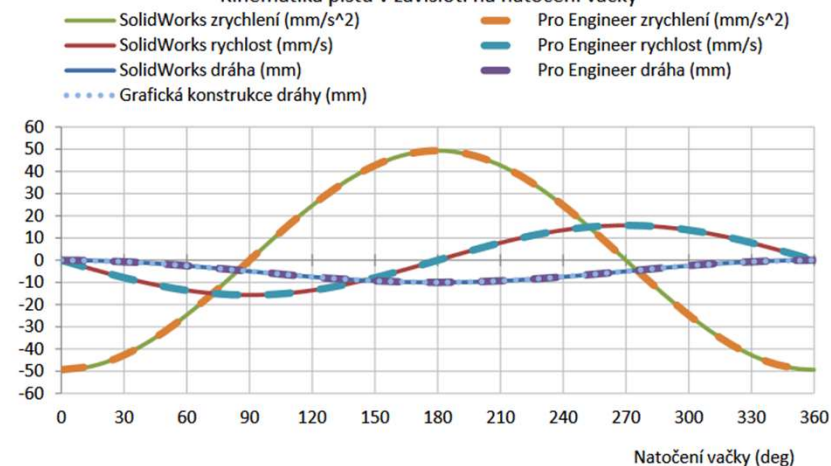
Rychlost bodu M v závislosti na natočení kliky



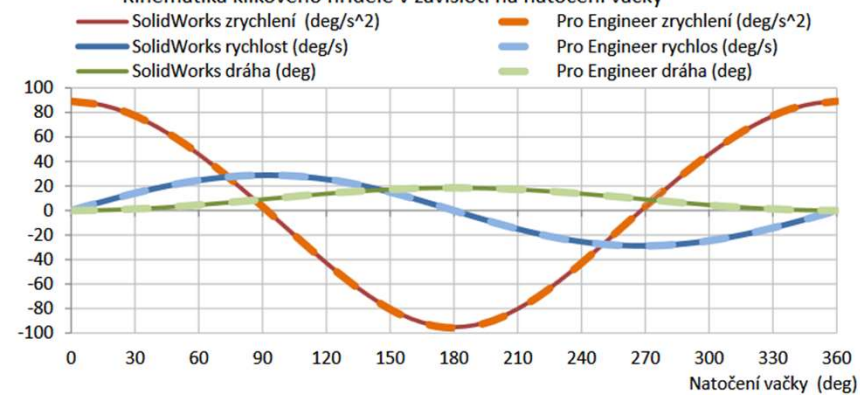
SolidWorks



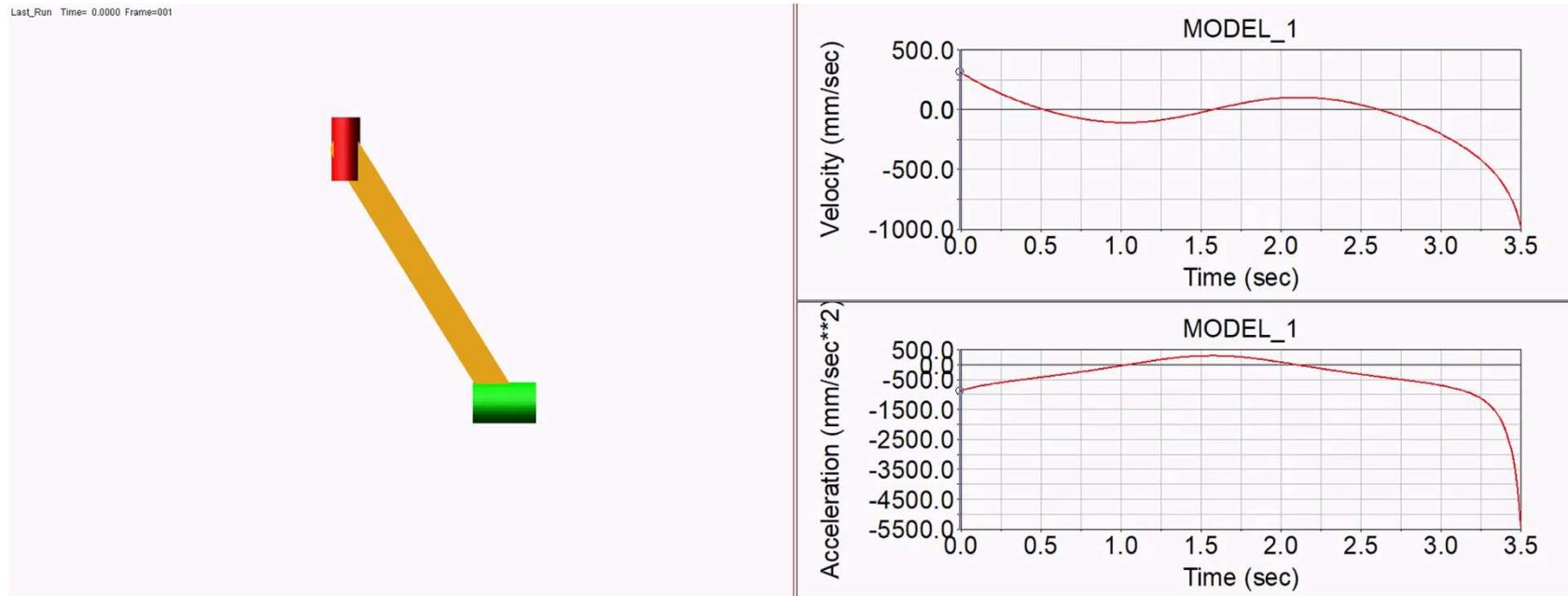
Kinematika pístu v závislosti na natočení vačky



Kinematika klikového hřídele v závislosti na natočení vačky



MSC.ADAMS



Analýza kinematiky pohybu

Kinematické vazby

Zobecněné souřadnice

Stavové proměnné

Metoda redukce

Metoda spočívá ve využití **věty o změně kinetické energie** a nahrazení celé soustavy těles jednou jednoduchou redukovanou (fiktivní) soustavou, která **má konstantní převod** a která koná buď translační pohyb, nebo rotační pohyb.

Zcela nevhodné by bylo redukovat soustavu na ORP.

Fiktivní redukovanou soustavu popíšeme jednoduchou pohybovou rovnicí pro translační a nebo rotační pohyb a z ní vyřešíme příslušné kinematickou závislost. Pohybová rovnice pro redukovanou soustavu má následující tvar:

Pouze pro konstantní převody:

$$M_{red} = I_{red} \cdot \alpha \quad \text{pro redukci na rotační pohyb}$$

$$F_{red} = m_{red} \cdot a \quad \text{pro redukci na translační pohyb}$$

Věta o změně kinetické energie HB

integrální tvar věty o změně kinetické energie

$$E_{k2} - E_{K1} = A$$

diferenciální tvar:

$$\frac{dE_k}{dt} = P$$

Redukce hmotnostních parametrů

Stanoví se na základě rovnosti kinetické energie soustavy před redukcí a kinetické energie soustavy po redukcí.

$$E_K = \frac{1}{2} \cdot I_{red} \cdot \omega^2 = \sum_{i=1}^n \frac{1}{2} \cdot m_i \cdot v_i^2 + \sum_{j=1}^m \frac{1}{2} \cdot I_j \cdot \omega_j^2$$

$$E_K = \frac{1}{2} \cdot m_{red} \cdot v^2 = \sum_{i=1}^n \frac{1}{2} \cdot m_i \cdot v_i^2 + \sum_{j=1}^m \frac{1}{2} \cdot I_j \cdot \omega_j^2$$

Redukce silových parametrů

Stanoví se na základě rovnosti výkonů nebo prací silové soustavy působící na soustavu před redukcí a po redukcí soustavy.

$$A = M_{red} \cdot \varphi = \sum_{i=1}^n F_i \cdot x_i + \sum_{j=1}^m M_j \cdot \varphi_j$$

$$A = F_{red} \cdot x = \sum_{i=1}^n F_i \cdot x_i + \sum_{j=1}^m M_j \cdot \varphi_j$$

$$P = M_{red} \cdot \dot{\varphi} = \sum_{i=1}^n F_i \cdot \dot{x}_i + \sum_{j=1}^m M_j \cdot \dot{\varphi}_j$$

$$P = F_{red} \cdot \dot{x} = \sum_{i=1}^n F_i \cdot \dot{x}_i + \sum_{j=1}^m M_j \cdot \dot{\varphi}_j$$

pro proměnlivé převody ...

$$\frac{1}{2} \frac{d m_{red}}{dx} v^2 + m_{red} a = F_{red}$$

$$\frac{1}{2} \frac{d I_{red}}{d\varphi} \omega^2 + I_{red} \alpha = M_{red}$$